

Е. В. Громачевская\*, Е. А. Кайгородова<sup>a</sup>,  
К. С. Пушкарева<sup>b</sup>, Г. Д. Крапивин

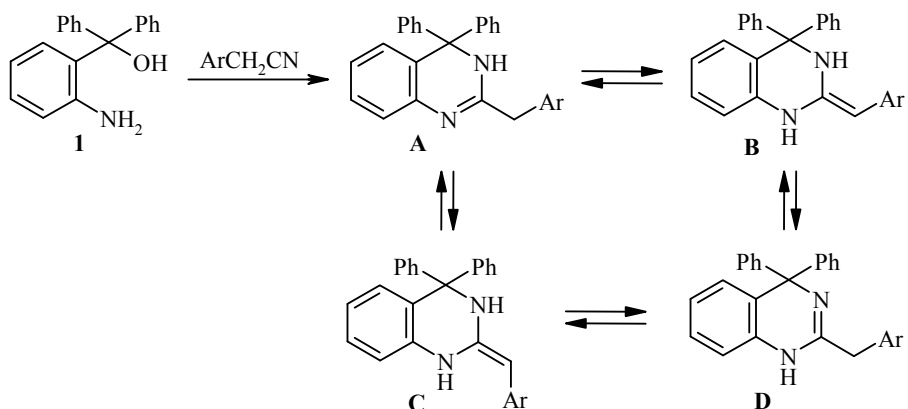
## ИССЛЕДОВАНИЯ В ОБЛАСТИ ХИНАЗОЛИНОВ

### 5\*. СИНТЕЗ ПРОИЗВОДНЫХ 3,4-ДИГИДРОХИНАЗОЛИНОВ С ФУНКЦИОНАЛЬНЫМИ ЗАМЕСТИТЕЛЯМИ В ПОЛОЖЕНИИ 2 И РЕАКЦИИ ИХ АЛКИЛИРОВАНИЯ

Получен новый ряд 2-замещённых 4,4-дифенил-3,4-дигидрохиназолинов реакцией *o*-аминофенилдифенилкарбинола (АФК) с нитрилами различного строения. Взаимодействие АФК с замещёнными 5-бром-3-циано-2(1*H*)-пирионами приводит к образованию производных двух продуктов: 3,4-дигидрохиназолинов и 4*H*-3,1-бензоксазинов. Алкилирование 3,4-дигидрохиназолинов диметилсульфатом осуществляется как *N,N*-диметилирование. Структура полученных при этом продуктов определяется природой заместителя у атома С-2 гетероцикла.

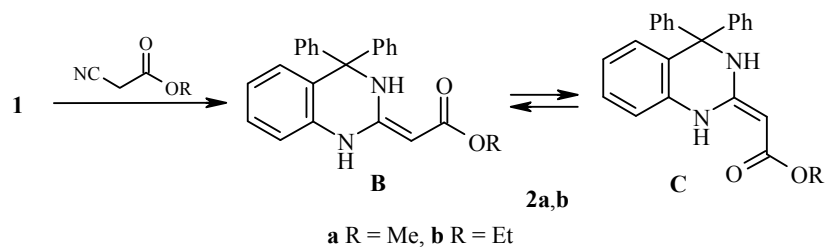
**Ключевые слова:** диметилсульфат, 4,4-дифенил-3,4-дигидрохиназолины, алкилирование, масс-спектрометрическая фрагментация.

Известно [2, 3], что *o*-аминофенилдифенилкарбинол (АФК, 1) в реакции с нитрилами образует 2,4,4-тризамещённые 3,4(1,4)-дигидрохиназолины, существующие в растворе в виде двух таутомерных 1*H*- и 3*H*-форм. Более того, хиназолины, имеющие активную метиленовую группу непосредственно связанную с хиназолиновым циклом, способны к существованию в растворе в четырёх таутомерных формах A–D с миграцией кратной связи в экзоциклическое положение [2].

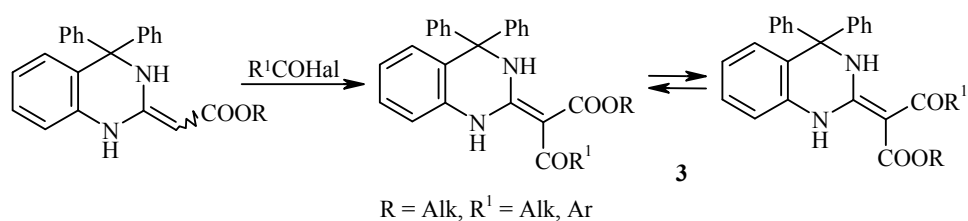


Эфиры циануксусной кислоты при введении в реакцию с АФК 1 образуют алкил-2-(4,4-дифенил-3,4-дигидрохиназолин-2(1*H*)-илиден)ацетаты 2a,b в виде двух геометрических изомеров (формы B и C), стабилизованных внутримолекулярными водородными связями [2].

\* Сообщение 4 см. [1].

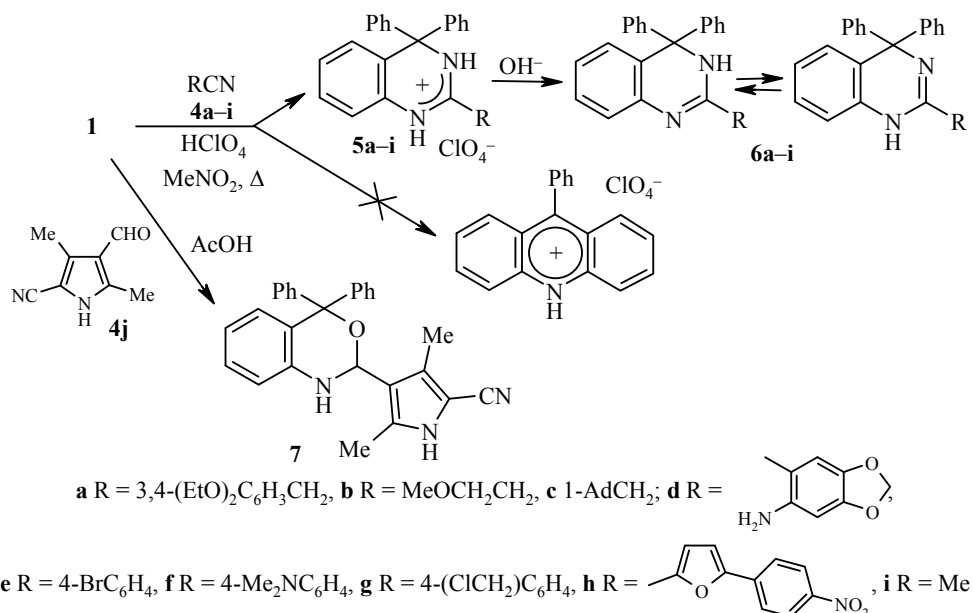


Изучение химических свойств подобных соединений показало [1–3] необычное протекание реакции алкилирования и ацилирования. Так, метилирование диметилсульфатом (мягкий электрофил) происходит как N- и C-диметилирование [2] с миграцией кратной связи внутрь гетероциклического кольца. Ацилирование [1] галогенангидридами карбоновых кислот (жёсткий электрофил) происходит не по атомам азота, а как C-ацилирование в  $\alpha$ -положение к гетероциклу, приводя к равновесной смеси  $\pi$ -диастереомеров 3.



В продолжение изучения реакций АФК 1 с нитрилами в кислой среде [2, 3] в настоящей работе мы изучили его взаимодействие с расширенным рядом нитрилов 4a–j, содержащих различные функциональные группы, а также исследовали процесс алкилирования полученных продуктов.

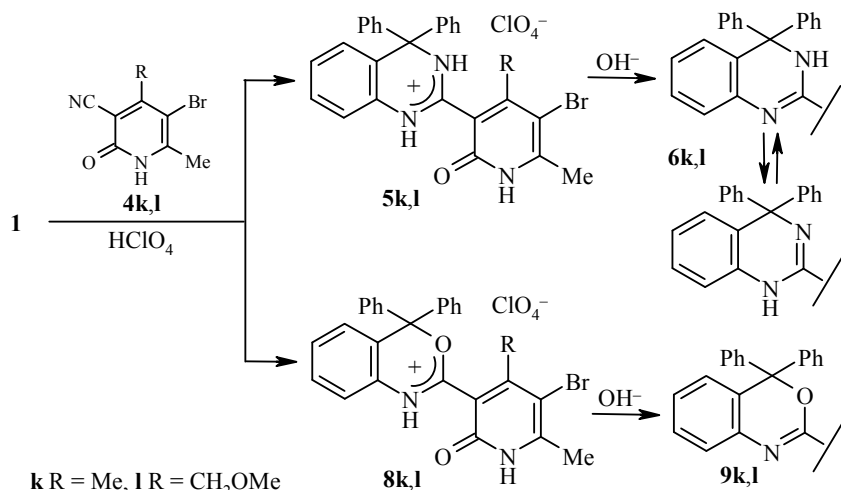
Карбинол 1 в присутствии  $\text{HClO}_4$  переходит в стабильный триарилкабениевый катион [2], который в реакции с нитрилами 4a–i образует перхлораты 3,4-дигидрохиназолиния 5a–i по механизму 1,4-диполярного циклоприсоединения [4].



Ранее [2, 3, 5] нами было установлено, что АФК **1** в кислой среде при комнатной температуре образует соли 9-фенилакридиния. Поэтому для подавления побочной реакции образования перхлората 9-фенилакридиния в синтезе перхлоратов 3,4-дигидрохиназолиния мы модернизировали ранее предложенную методику [2], проводя синтез перхлоратов **5a–i,k,l** при дефиците  $\text{HClO}_4$ . Реакцию проводили в кипящем нитрометане при эквимолярных соотношениях исходных реагентов и 70%  $\text{HClO}_4$ , постепенно добавляя кислоту в реакционную смесь.

3,5-Диметил-4-формил-1*H*-пиррол-2-карбонитрил (**4j**) в указанных выше условиях (растворитель нитрометан, эквимолярные количества реагентов и хлорной кислоты) в реакцию с карбинолом **1** не вступает. Этот нитрил реагирует с АФК **1** в уксусной кислоте как альдегид [10], давая дигидробензоксазин **7**.

В разработанных нами условиях установлено необычное протекание реакций соединения **1** с замещёнными 5-бром-3-циано-2(*H*)-пиридонами **4k,l**, приводящее к перхлоратам 3,4-дигидрохиназолиния **5k,l** и 4*H*-3,1-бензоксазиния **8k,l**. Возможно, в данном случае помимо образования перхлоратов **5k,l** происходит частичный гидролиз нитрильной группы пиридонов **4k,l** до карбоксильной с последующим ацилированием аминогруппы АФК **1** и гетероциклизацией в перхлораты **8k,l** [6]. Однако прямых доказательств выдвинутой версии у нас пока нет.



Перхлораты **5a–h,k,l**, **8k,l** и соответствующие им основания – 3,4-дигидрохиназолины **6a–h,k,l** и 4*H*-3,1-бензоксазины **9k,l** – получены впервые, характеристики их представлены в табл. 1–3. Физико-химические свойства известных перхлората 2-метил-4,4-дифенил-3,4-дигидрохиназолиния (**5i**) и хиназолина **6i** приведены в работе [2].

Строение соединений **6a–h,k,l** и **9k,l** подтверждается наличием в их ИК спектрах полос поглощения валентных колебаний связей N–H (3150–3420  $\text{cm}^{-1}$ ), C=N (1580–1620) и C=O (1610–1690  $\text{cm}^{-1}$ ), а для соединения **6d** – первичной аминогруппы (3470, 3380, 1590  $\text{cm}^{-1}$ ).

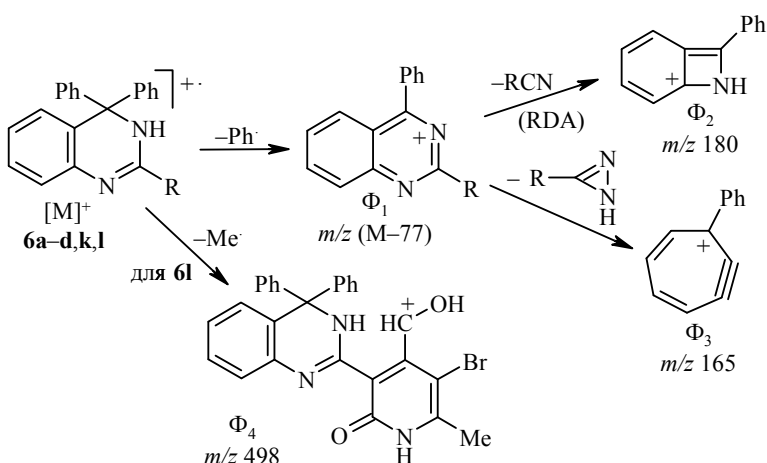
В спектрах ЯМР <sup>1</sup>*H* дигидрохиназолинов **6a–c,g,h,k** зафиксировано присутствие сигнала протона вторичной аминогруппы гетероцикла в виде двух синглетов (общей интенсивностью 1*H*), что доказывает существование в растворах ( $\text{DMSO-d}_6$ ) таутомерного равновесия между 1*H*- и 3*H*-формами изучаемых структур.

Таблица 1  
Физико-химические характеристики синтезированных соединений

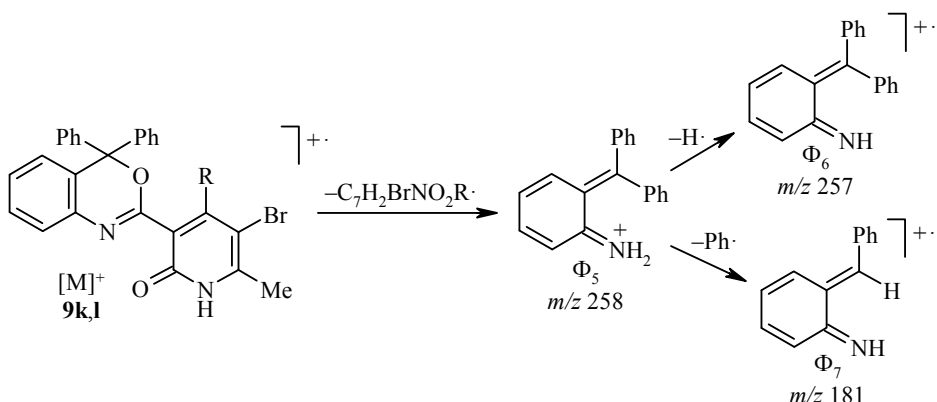
Соединение	Брутто-формула	Найдено, %				T. пл., °C	$R_f^*$	Выход, %
		C	H	N	Hal			
<b>5a</b>	C <sub>31</sub> H <sub>31</sub> ClN <sub>2</sub> O <sub>6</sub>	66.05 66.13	5.72 5.55	4.82 4.98	6.54 6.30	228–230	—	75
<b>5b</b>	C <sub>23</sub> H <sub>23</sub> ClN <sub>2</sub> O <sub>5</sub>	62.48 62.37	5.31 5.23	6.45 6.32	8.25 8.00	189–190	—	70
<b>5c</b>	C <sub>31</sub> H <sub>33</sub> ClN <sub>2</sub> O <sub>4</sub>	69.67 69.85	6.36 6.24	5.18 5.26	6.42 6.65	>250	—	72
<b>5d</b>	C <sub>27</sub> H <sub>22</sub> ClN <sub>3</sub> O <sub>6</sub>	62.61 62.37	4.57 4.26	8.38 8.09	7.01 6.82	>200	—	55
<b>5e</b>	C <sub>26</sub> H <sub>20</sub> BrClN <sub>2</sub> O <sub>4</sub>	57.51 57.85	3.85 3.73	5.31 5.19	21.52 21.37	>220 (с разл.)	—	65
<b>5f</b>	C <sub>28</sub> H <sub>26</sub> ClN <sub>3</sub> O <sub>4</sub>	66.42 66.73	5.31 5.20	8.15 8.34	7.20 7.03	210–213	—	73
<b>5g</b>	C <sub>27</sub> H <sub>22</sub> ClN <sub>2</sub> O <sub>4</sub>	63.40 63.66	4.75 4.35	5.68 5.50	13.41 13.92	193–195	—	71
<b>5h</b>	C <sub>30</sub> H <sub>22</sub> ClN <sub>3</sub> O <sub>7</sub>	63.59 63.00	4.01 3.88	7.52 7.35	6.10 6.20	>210	—	65
<b>5k</b>	C <sub>27</sub> H <sub>23</sub> BrClN <sub>3</sub> O <sub>5</sub>	55.62 55.45	3.81 3.96	7.41 7.18	19.55 19.74	>220	—	53
<b>5l</b>	C <sub>28</sub> H <sub>25</sub> BrClN <sub>3</sub> O <sub>6</sub>	54.45 54.70	4.21 4.10	6.95 6.83	18.55 18.76	>250	—	15
<b>6a</b>	C <sub>31</sub> H <sub>30</sub> N <sub>2</sub> O <sub>2</sub>	80.28 80.49	6.31 6.54	6.25 6.06	—	132–134	0.19	72
<b>6b</b>	C <sub>23</sub> H <sub>22</sub> N <sub>2</sub> O	80.55 80.67	6.32 6.48	8.45 8.18	—	139–140	0.38	75
<b>6c</b>	C <sub>31</sub> H <sub>32</sub> N <sub>2</sub>	85.82 86.07	7.32 7.46	6.65 6.48	—	216–218	0.22	70
<b>6d</b>	C <sub>27</sub> H <sub>21</sub> N <sub>3</sub> O <sub>2</sub>	77.02 77.31	5.32 5.05	10.25 10.02	—	253–256	0.50	65
<b>6e</b>	C <sub>26</sub> H <sub>19</sub> BrN <sub>2</sub>	71.15 71.08	4.50 4.36	6.15 6.38	18.45 18.19	123–126	0.75	80
<b>6f</b>	C <sub>28</sub> H <sub>25</sub> N <sub>3</sub>	83.08 83.34	6.51 6.24	10.15 10.41	—	198–200	0.22	75
<b>6g</b>	C <sub>27</sub> H <sub>21</sub> ClN <sub>2</sub>	79.55 79.30	5.01 5.18	6.67 6.85	8.51 8.67	151–153	0.85	93
<b>6h</b>	C <sub>30</sub> H <sub>21</sub> N <sub>3</sub> O <sub>3</sub>	76.68 76.42	4.31 4.49	9.08 8.91	—	134–136	0.43	50
<b>6k</b>	C <sub>27</sub> H <sub>22</sub> BrN <sub>3</sub> O	66.59 66.95	4.35 4.58	8.42 8.67	16.84 16.50	232–233	0.06	85
<b>6l</b>	C <sub>28</sub> H <sub>24</sub> BrN <sub>3</sub> O <sub>2</sub>	65.21 65.38	4.82 4.70	8.03 8.17	15.38 15.53	240–242	0.13	70
<b>7</b>	C <sub>27</sub> H <sub>23</sub> N <sub>3</sub> O	80.24 79.97	5.35 5.72	10.52 10.36	—	179–181	0.85	60
<b>8k</b>	C <sub>27</sub> H <sub>22</sub> BrClN <sub>2</sub> O <sub>6</sub>	55.61 55.36	3.62 3.79	4.93 4.78	19.54 19.69	>150 (с разл.)	—	38
<b>8l</b>	C <sub>28</sub> H <sub>24</sub> BrClN <sub>2</sub> O <sub>7</sub>	54.75 54.61	3.79 3.93	4.46 4.55	18.93 18.73	>250	—	75
<b>9k</b>	C <sub>27</sub> H <sub>21</sub> BrN <sub>2</sub> O <sub>2</sub>	66.96 66.81	4.18 4.36	5.52 5.77	16.71 16.46	238–240	0.51	80
<b>9l</b>	C <sub>28</sub> H <sub>23</sub> BrN <sub>2</sub> O <sub>3</sub>	65.38 65.25	4.35 4.50	5.62 5.44	15.75 15.50	241–243	0.17	73
<b>10a</b>	C <sub>33</sub> H <sub>34</sub> N <sub>2</sub> O <sub>2</sub>	81.10 80.78	6.72 6.98	5.85 5.71	—	146–149	0.65	45
<b>13f</b>	C <sub>21</sub> H <sub>22</sub> N <sub>2</sub>	83.67 83.40	7.05 7.33	9.51 9.26	—	140–141	0.50	60

\* Элюент – ацетон–бензол, 1:9.

Начальный распад молекулярных ионов  $[M]^+$  дигидрохиназолинов **6a–d,k,l** соответствует общей схеме, предложенной нами ранее [3], и характеризуется отрывом фенильного радикала с образованием катиона  $\Phi_1$ . Последний распадается по двум конкурирующим направлениям: элиминированием молекул нитрилов (ретродиеновый распад) и диазиринов  $RCN_2H$ , образуя соответствующие чётноэлектронные частицы  $\Phi_2$  и  $\Phi_3$  (табл. 3). Катионы типа  $\Phi_1$ – $\Phi_3$  являются характеристическими при фрагментации  $[M]^+$  3,4-дигидрохиназолинов [3]. На схеме ниже представлен также имеющий максимальную интенсивность катион  $\Phi_4$ , образующийся в результате отрыва метильного радикала от метоксиметильного заместителя соединения **6l**.

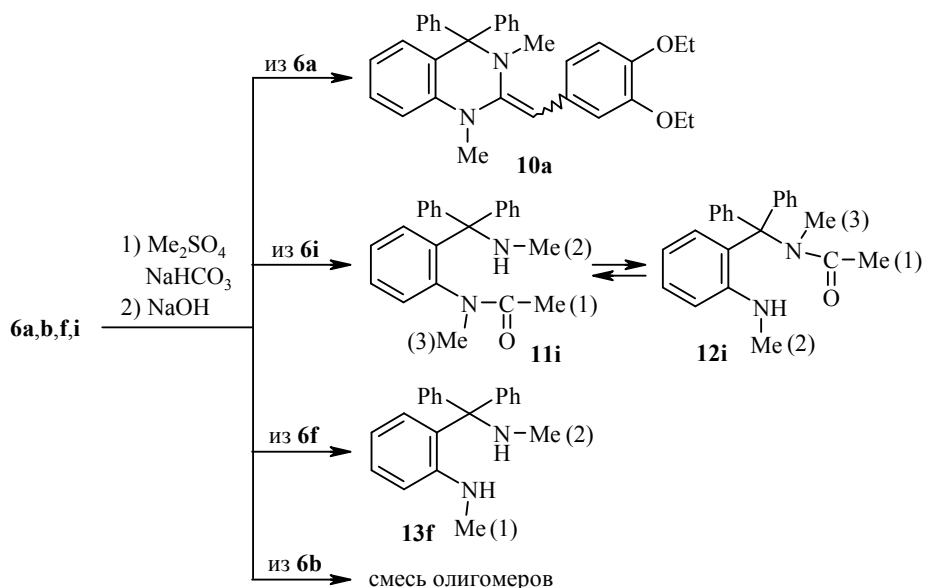


Первичным актом фрагментации иона  $[M]^+$  бензоксазинов **9k,l** является разрушение гетероцикла (что характерно для распада иона  $[M]^+$  производных 4*H*-3,1-бензоксазинов [7–9]) и образование катиона  $\Phi_5$ , который затем элиминирует атом водорода или фенильный радикал, давая катионы  $\Phi_6$  или  $\Phi_7$ .



Представляло интерес провести реакции алкилирования и ацилирования с рядом полученных дигидрохиназолинов, начатые в работах [1, 2], с целью определения направленности реакций и возможной фиксации одной из таутомерных форм (**A, D**).

Метилирование соединений **6a,b,f,i** избытком диметилсульфата в водной среде в присутствии  $NaHCO_3$  с последующей обработкой водным раствором  $NaOH$  [11, с. 463] приводит к продуктам *N,N*-диметилирования **10–13** разной структуры.



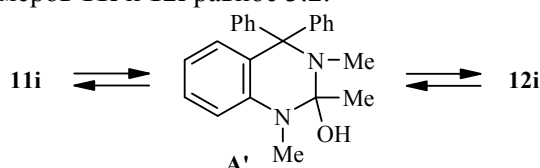
Так, 2-(3',4'-диэтоксибензил)-4,4-дифенил-3,4-дигидрохиназолин (**6a**) образует продукт диметилирования с сохранением хиназолинового цикла – 2-(3,4-диэтоксибензилиден)-1,3-диметил-4,4-дифенил-1,2,3,4-тетрагидрохиназолин (**10a**). Согласно спектру ЯМР  $^1\text{H}$ , это соединение в растворе  $\text{CF}_3\text{COOH}$  существует в виде двух геометрических изомеров в соотношении 1:1. Об этом свидетельствует наличие в спектре четырех синглетных сигналов двух групп  $\text{N}-\text{CH}_3$  (1.95, 2.92, 3.30, 3.90 м. д.) и двух синглетов метинового протона (5.60 и 5.85 м. д.) с суммарной интенсивностью 6Н и 1Н соответственно. В ИК спектре отсутствуют валентные колебания NH-групп (табл. 3). Такое протекание реакции определяется, во-первых, наличием активного экзоциклического метиленового звена, во-вторых, образованием сопряжённого *N,N*-дизамещённого стирильного фрагмента в конечном продукте **10a**. Аналогичный продукт – 1,3-диметил-2-(4-нитробензилиден)-4,4-дифенил-1,2,3,4-тетрагидрохиназолин – получен ранее [2] при метилировании диметилсульфатом 2-(4-нитробензил)-4,4-дифенил-3,4-дигидрохиназолина.

Таблица 2  
ИК спектры солей **5a–h,k,l, 8k,l**

Соединение	$\nu, \text{cm}^{-1}$		
	$\text{NH} \begin{array}{c} + \\ \diagup \\ \diagdown \end{array} \text{NH}$	$\text{ClO}_4^-$	Другие
<b>5a</b>	3300, 3210, 1630	1130, 1120, 1030	–
<b>5b</b>	3300, 3230, 1640	1140, 1100, 1630	–
<b>5c</b>	3300, 3200, 1620	1130, 1090, 1025	–
<b>5d</b>	3350, 3190, 1630	1100, 1060, 1020	3280 ( $\text{NH}_3^+$ )
<b>5e</b>	3170, 1620	1100, 1050, 1020	–
<b>5f</b>	3180, 1580	1120, 1050,	2300 ( $\text{NH}^+$ )
<b>5g</b>	3180, 1620	1130, 1090, 1010	–
<b>5h</b>	3150, 1630	1110, 1050	1370, 1520 ( $\text{NO}_2$ )
<b>5k</b>	3250, 3170, 1640	1100, 1090, 1010	1635 ( $\text{C=O}$ )
<b>5l</b>	3200, 3150, 1630	1100, 1075, 1010	1620 ( $\text{C=O}$ )
<b>8k</b>	2480, 1665, ( $\text{NH}^+$ )	1020, 1090, 1010	1630 ( $\text{C=O}$ )
<b>8l</b>	2700, 1645 ( $\text{NH}^+$ )	1105, 1081, 1030	1640 ( $\text{C=O}$ )

3,4-Дигидрохиназолины **6i,f**, не содержащие активное метиленовое звено при атоме С-2 гетероцикла, метилируются с раскрытием гетероцикла.

При метилировании 2-метил-4,4-дифенил-3,4-дигидрохиназолина (**6i**) получен продукт диметилирования **11i**. В спектре ЯМР  $^1\text{H}$  (ДМСО- $\text{d}_6$ ) этого соединения имеются два уширенных синглета протона NH и сигналы трёх метильных групп, каждая из которых проявляется в виде двух синглетов. Такой вид спектра позволяет предположить наличие в растворе динамического равновесия между двумя структурными изомерами: *N*-метил-*N*{2-[(метиламино)(дифенил)метил]фенил}ацетамидом (**11i**) и *N*-метил-*N*{2-[(метиламино)фенил](дифенил)метил}ацетамидом (**12i**), осуществляемое путём миграции ацетильной группы между атомами N-1 и N-3 через тетрагидрохиназолиновую форму **A'** [13]. Сравнением интегральной интенсивности сигналов протонов метильных групп в спектре ЯМР  $^1\text{H}$  установлено соотношение изомеров **11i** и **12i** равное 3:2.



В кристаллическом состоянии, очевидно, существует только одна из двух открытых форм (**11i** или **12i**), поскольку в ИК спектре кристаллов наблюдается только одна полоса поглощения C=O (амид 1, при  $1635 \text{ cm}^{-1}$ ) и одна узкая полоса валентных колебаний NH ( $3300 \text{ cm}^{-1}$ ) [12].

Взаимодействие 2-(4-диметиламинофенил)-4,4-дифенил-3,4-дигидрохиназолина (**6f**) с диметилсульфатом, согласно элементному анализу и спектральным данным (табл. 1, 3), проходит с деструкцией дигидрохиназолинового кольца и завершается образованием *N*-метил-2-[(метиламино)(дифенил)метил]анилина (**13f**). Отсутствие в ИК спектре диамина **13f** валентных колебаний C=O свидетельствует о том, что в процессе разложения избытка диметилсульфата водным раствором щёлочи, происходит не только раскрытие гетероцикла, но и гидролиз амидной группы.

Метилирование 2(2-метоксиэтил)-4,4-дифенил-3,4-дигидрохиназолина (**6b**) в условиях [11] приводит к смеси олигомеров неустановленного строения.

В масс-спектрах продуктов метилирования **10–13** содержатся пики однозарядных молекулярных ионов  $[\text{M}]^+$  (табл. 3). Начальной фрагментацией ионов  $[\text{M}]^+$  соединений **10a**, **13f** является экструзия молекулы имина  $\text{CH}_2=\text{NH}$ , приводящая к ионам  $\Phi_1$ , что существенно отличается от первичного масс-распада  $[\text{M}]^+$  дигидрохиназолинов **6a–d**.

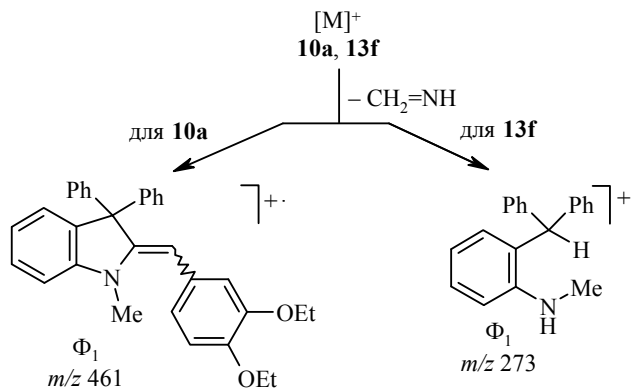


Таблица 3

## Спектральные характеристики соединений 6a–h,k,l,7,9k,l,10a,13f

Соединение	ИК спектр, ν, $\text{cm}^{-1}$	Спектр ЯМР $^1\text{H}$		Масс-спектр*, $m/z$ ( $I_{\text{отн. \%}}$ )
		Растворитель	Химические свидетели, δ, м. д. ( $J$ , Гц)	
<b>6a</b>	3320 (NH), 1620 (C=N)	(CD <sub>3</sub> ) <sub>2</sub> CO	1.20 (3H, τ, $J = 6.5$ , OCH <sub>2</sub> CH <sub>3</sub> ); 1.25 (3H, τ, $J = 6.5$ , OCH <sub>2</sub> CH <sub>3</sub> ); 3.44 (2H, c, CH <sub>2</sub> Ar); 3.75 (2H, κ, $J = 6.5$ , 2OCH <sub>2</sub> CH <sub>3</sub> ); 6.55–6.80 (8H, M, H-5,6,7,8, H Ar, NH); 6.80–7.15 (10H, M, HPh)	462 [M] <sup>+</sup> (13), 385 (100), 341 (18), 271 (10), 220 (4), 205 (11), 180 (8), 165 (35), 123 (21), 91 (5), 77 (25)
<b>6b</b>	3180 (NH), 1620 (C=N)	ДМСО-d <sub>6</sub>	1.20–1.35 (6H, M, 2OCH <sub>2</sub> CH <sub>3</sub> ); 3.50 (1H, c) и 3.55 (1H, c, CH <sub>2</sub> Ar); 3.80–4.00 (4H, M, 2OCH <sub>2</sub> CH <sub>3</sub> ); 6.54 (1H, d, $J = 8.0$ , H-8); 6.70–6.90 (3H, M, H-5,6,7); 7.00–7.30 (13H, M, H Ar, H Ph); 8.05 (0.5H, уш. с) и 9.45 (0.5H, уш. с, NH)	342 [M] <sup>+</sup> (10), 265 (100), 233 (67), 219 (5), 205 (6), 180 (5), 165 (4), 155 (21), 152 (6), 77 (23)
<b>6c</b>	3250 (NH), 1610 (C=N)	(CD <sub>3</sub> ) <sub>2</sub> CO	2.48 (2H, τ, $J = 8.2$ , α-CH <sub>2</sub> ); 3.16 (3H, c, OCH <sub>3</sub> ); 3.50 (2H, τ, $J = 8.2$ , β-CH <sub>2</sub> ); 5.85 (1H, уш. с, NH); 6.45–6.75 (4H, M, H-5,6,7,8); 6.85–7.15 (10H, M, H Ph)	2.45–2.65 (2H, M, α-CH <sub>2</sub> ); 3.19 (1.5H, c) и 3.22 (1.5H, c, CH <sub>3</sub> ); 3.55–3.70 (2H, M, β-CH <sub>2</sub> ); 6.53 (1H, d, $J = 8.0$ , H-8); 6.80–7.40 (13H, M, H-5,6,7, H Ph); 8.55 (0.5H, уш. с) и 9.50 (0.5H, уш. с, NH)
<b>6d</b>	3470, 3380, 1590 (NH <sub>2</sub> ), 3290 (NH), 1620 (C=N)	ДМСО-d <sub>6</sub>	0.90–1.12 (12H, M, 6CH <sub>2</sub> ); 1.40 (3H, c, 3CH); 2.00 (2H, c, CH <sub>2</sub> Ad); 6.55–6.75 (14H, M, H-5,6,7,8, H Ar); 7.95 (1H, уш. с, NH) 1.40–1.65 (12H, M, 6CH <sub>2</sub> ); 1.80–1.90 (3H, M, 3CH); 2.08 (2H, c, CH <sub>2</sub> Ad); 6.50 (1H, d, $J = 7.5$ , H-8); 6.85 (0.5H, уш. с) и 9.20 (0.5H, уш. с, NH); 7.00–7.40 (13H, M, H-5,6,7, H Ph)	432 [M] <sup>+</sup> (16), 355 (100), 297 (10), 221 (15), 220 (25), 219 (10), 180 (12), 165 (10), 135 (28), 93 (23), 77 (22)
<b>6e</b>	3150 (NH), 1610 (C=N)	ДМСО-d <sub>6</sub>	5.91 (2H, c, OCH <sub>2</sub> O); 6.35 (1H, c, H-3); 6.55 (1H, d, $J = 7.5$ , H-8); 6.98 (1H, d, $J = 7.2$ , J = 7.5, H-7); 7.10–7.40 (16H, M, H-5,6,6, H Ph, NH <sub>2</sub> , NH)	419 [M] <sup>+</sup> (32), 342 (100), 284 (25), 210 (8), 180 (12), 171 (30), 165 (7), 142 (15), 104 (8), 77 (31)
<b>6f</b>	3390 (NH), 1600 (C=N)	ДМСО-d <sub>6</sub>	6.60 (1H, d, $J = 7.5$ , H-8); 7.10–7.45 (14H, M, H-5,6,7, H Ph, NH); 7.77 (2H, d, $J = 8.4$ , H Ar); 7.96 (2H, d, $J = 8.4$ , H Ar)	—
			2.98 (6H, c, N(CH <sub>3</sub> ) <sub>2</sub> ); 6.52 (1H, d, $J = 7.5$ , H-8); 6.76 (2H, d, $J = 8.7$ , H Ar); 6.98 (1H, d, $J = 6.6$ , J = 7.5, H-7); 7.12–7.38 (13H, M, H-5,6, H Ph, NH); 7.95 (2H, d, $J = 8.7$ , H Ar)	—

<b>6g</b>	3400 (NH) 1620 (C=N)	ДМСО-d <sub>6</sub>	4.82 (2H, c, CH <sub>2</sub> Cl); 6.57 (1H, d, <i>J</i> = 6.0, H-8); 7.01 (1H, d, <i>d</i> , <i>J</i> = 6.0, <i>J</i> = 6.0, H-7); 7.10–7.45 (12H, m, H-5,6, H Ph); 7.55 (2H, d, <i>d</i> , <i>J</i> = 9.0, H Ar); 8.05 (2H, d, <i>J</i> = 9.0, H Ar); 9.20 (0.5H, уш. c) и 10.00 (0.5H, уш. c, NH)	—
<b>6h</b>	3340 (NH), 1590 (C=N), 1350, 1500 (NO <sub>2</sub> )	ДМСО-d <sub>6</sub>	6.73 (1H, d, <i>J</i> = 7.7, H-8); 7.06 (1H, d, <i>d</i> , <i>J</i> = 7.7, <i>J</i> = 8.2, H-7); 7.20– 7.39 (12H, m, H-5,6, H Ph); 7.82 (1H, d, <i>J</i> = 8.7, H-4 Fur); 7.89 (2H, d, <i>J</i> = 8.7, H Ar); 8.29 (1H, d, <i>J</i> = 8.7, H-3 Fur); 8.33 (2H, d, <i>J</i> = 8.7, H Ar); 9.00 (0.5H, уш. c) и 10.05 (0.5H, уш. c, NH)	471 [M <sup>+</sup> ] (7), 441 (13), 395 (100), 365 (18), 364 (25), 349 (8), 348 (27), 320 (7), 255 (20), 205 (8), 182 (9), 112 (12), 101 (16)
<b>6k</b>	3370, 3250 (NH), 1610 (C=O), 1580 (C=N)	ДМСО-d <sub>6</sub>	1.74 (3H, c, CH <sub>3</sub> ); 2.34 (3H, c, CH <sub>3</sub> ); 6.58 (1H, d, <i>J</i> = 9.0, H-8); 6.85– 7.00 (2H, m, H-5,7); 7.05–7.40 (12H, m, H-6, H Ph, CONH); 9.80 (0.5H, уш. c) и 11.90 (0.5H, уш. c, NH)	483 [M <sup>+</sup> ] (4), 406 (100), 363 (4), 328 (13), 308 (6), 219 (10), 194 (9), 180 (8), 165 (3), 152 (3), 120 (5), 110 (7), 77 (5)
<b>6l</b>	3360, 3270 (NH), 1625 (C=O), 1600 (C=N)	ДМСО-d <sub>6</sub>	2.35 (3H, c, CH <sub>3</sub> ); 2.75 (3H, c, OCH <sub>3</sub> ); 3.87 (2H, c, CH <sub>2</sub> OCH <sub>3</sub> ); 6.58 (1H, d, <i>J</i> = 7.8, H-8); 7.01 (1H, d, <i>d</i> , <i>J</i> = 7.2, <i>J</i> = 7.8, H-7); 7.06 (1H, d, <i>J</i> = 7.5, H-5); 7.03–7.37 (13H, m, H-6, H Ph, 2NH)	513 [M <sup>+</sup> ] (45), 498 (100), 436 (13), 418 (12), 404 (35), 326 (15), 258 (90), 180 (27), 165 (28), 152 (7), 77 (5)
<b>7</b>	3490 (NH <sub>6crys</sub> ), 3400 (NH <sub>imp</sub> ), 2190 (C=N)	ДМСО-d <sub>6</sub>	2.09 (3H, c, CH <sub>3</sub> ); 2.12 (3H, c, CH <sub>3</sub> ); 5.36 (1H, c, 2-CHD); 6.52 (1H, d, d, <i>J</i> = 8.0, J = 8.0, H-7); 6.55 (1H, c, 1-NH); 6.57 (1H, d, <i>d</i> , <i>J</i> = 8.0, H- 8); 6.67 (1H, d, <i>J</i> = 7.2, H-5); 6.99 (1H, d, <i>d</i> , <i>J</i> = 7.2, <i>J</i> = 8.0, H-6); 7.15–7.35 (10H, m, H Ph); 11.85 (1H, c, NH) Pyt	—
<b>9k</b>	3420 (NH), 1680 (C=O), 1620 (C=N)	ДМСО-d <sub>6</sub>	1.86 (3H, c, CH <sub>3</sub> ); 2.35 (3H, c, CH <sub>3</sub> ); 6.85 (1H, d, <i>J</i> = 6.0, H-8); 7.00– 7.40 (13H, m, H-5,6,7, H Ph); 12.24 (1H, уш. c, CONH)	484 [M <sup>+</sup> ] (3), 258 (90), 257 (93), 228 (43), 226 (72), 200 (22), 197 (18), 181 (100), 165 (7), 152 (17), 119 (22), 91 (6), 77 (50)
<b>9l</b>	3400 (NH), 1690 (C=O), 1610 (C=N) 1625 (C=C)	ДМСО-d <sub>6</sub>	2.37 (3H, c, CH <sub>3</sub> ); 2.73 (3H, c, OCH <sub>3</sub> ); 4.04 (2H, c, CH <sub>2</sub> OCH <sub>3</sub> ); 6.86 (1H, d, <i>J</i> = 6.0, H-8); 7.05–7.45 (13H, m, H-5,6,7, H Ph); 12.35 (1H, уш. c, CONH)	514 [M <sup>+</sup> ] (4), 259 (35), 258 (75), 257 (100), 228 (55), 226 (40), 202 (20), 181 (95), 165 (13), 152 (16), 77 (7)
<b>10a</b>	CF <sub>3</sub> COOH		1.05 (3H, r, <i>J</i> = 7.5, OCH <sub>2</sub> CH <sub>3</sub> ); 1.15 (3H, r, <i>J</i> = 7.5, OCH <sub>2</sub> CH <sub>3</sub> ); 1.95 (1.5H, c), 2.92 (1.5H, c), 3.30 (1.5H, c) и 3.90 (1.5H, c, 2NCH <sub>3</sub> ); 3.47–3.70 (4H, m, 2OCH <sub>2</sub> CH <sub>3</sub> ); 5.60 (0.5H, c) и 5.85 (0.5H, c, =CHAr); 6.52–6.88 (17H, m, H-5,6,7,8,2',5',6', H Ph)	490 [M <sup>+</sup> ] (20), 461 (18), 435 (10), 298 (31), 283 (22), 270 (10), 251 (23), 235 (12), 190 (37), 179 (18), 162 (41), 134 (47), 91 (11), 56 (100)
<b>13f</b>	3350 (NH)	ДМСО-d <sub>6</sub>	1.98 (3H, c, NCH <sub>3</sub> (2)); 2.60 (3H, c, NCH <sub>3</sub> (1)); 6.47 (2H, уш. c, 2NH); 6.85–7.30 (14H, m, H-5,6,7,8, H Ph)	302 [M <sup>+</sup> ] (10), 273 (17), 272 (25), 271 (80), 270 (54), 255 (18), 225 (7), 196 (10), 195 (13), 194 (100), 180 (12), 179 (20), 165 (25), 152 (11), 91 (22)

\* Значения *m/z* ионов соединений **6k**, **1** и **9k** рассчитаны для лёгкого изотопа галогена (<sup>79</sup>Br).

Попытки провести реакции ацилирования дигидрохиназолинов **6a–g,i** галогенангидридами кислот или уксусным ангидридом оказались безуспешными – ацилирования этих соединений не происходит [11].

Таким образом, показано, что характер заместителя в положении 2 гетероцикла существенным образом влияет на направленность реакции метилирования 3,4-дигидрохиназолинов диметилсульфатом. В дальнейшем планируется использовать широкий ряд 2-алкил(арил, гетарил)-3,4-дигидрохиназолинов в реакциях алкилирования, продолжить изучение влияния как характера заместителя, так и алкилирующего агента на направленность реакции.

## ЭКСПЕРИМЕНТАЛЬНАЯ ЧАСТЬ

ИК спектры записаны на приборе Specord IR-75 при комнатной температуре в вазелиновом масле. Спектры ЯМР  $^1\text{H}$  зарегистрированы на спектрометре Bruker DRX-500 (500 МГц), спектры соединений **6a,b** в  $(\text{CD}_3)_2\text{CO}$  и **6c** в  $\text{CF}_3\text{COOH}$  – на приборе Tesla BS (60 МГц), внутренний стандарт ТМС. Масс-спектры записаны на приборе Varian CH-6 с прямым вводом вещества в ионизационную камеру при температуре 50–180 °C и энергии ионизации электронов 70 эВ. Элементный анализ выполнен на C,H,N-анализаторе Hewlett-Packard HP-185B. Температуры плавления определены на нагревательном приборе Тиле. Контроль за ходом реакций осуществляли методом ТСХ (на пластинах Silufol UV-254, проявитель – пары иода).

**Перхлорат 2-(3,4-диэтоксибензил)-4,4-дифенил-3,4-дигидрохиназолиния (5a).** К кипящей смеси 0.51 г (2.5 ммоль) нитрила (3,4-диэтоксифенил)уксусной кислоты (**4a**) и 0.67 г (2.5 ммоль) АФК **1** в 5 мл  $\text{MeNO}_2$  постепенно добавляют по каплям 0.25 мл (2.5 ммоль) 70%  $\text{HClO}_4$ . По истечении 60 мин реакционную смесь охлаждают (ледяная баня), образовавшуюся соль **5a** осаждают эфиrom и отфильтровывают. Выход 1.06 г (75%). Бесцветные кристаллы.

Соли **5b–i** получают аналогично.

**Перхлораты 2-(5-бром-4,6-диметил-2-оксо-1,2-дигидропиридин-3-ил)-4,4-дифенил-3,4-дигидрохиназолиния (5k)** и **2-(5-бром-4,6-диметил-2-оксо-1,2-дигидропиридин-3-ил)-4,4-дифенил-4H-3,1-бензоксазиния (8k)** получают аналогично. При охлаждении (ледяная баня) из реакционной смеси выпадает перхлорат **8k**. Перхлорат **5k** осаждают эфиrom.

Соли **5l** и **8l** получают и выделяют аналогично.

Основания **6a–i,k,l** и **9k,l** получают депротонированием соответствующих солей в 25% водном аммиаке [3] и перекристаллизацией из спирта. Полученные основания представляют собой бесцветные кристаллы.

**2-[(2,4-Диметил-5-циано)пиrr-3-ил]-4,4-дифенил-1,4-дигидро-2H-3,1-бензоксазин (7).** К охлажденному до 0 °C раствору 0.67 г (2.5 ммоль) АФК **1** в 5 мл ледяной  $\text{AcOH}$  прибавляют 0.37 г (2.5 ммоль) формилонитрила **4j**, затем смесь продолжают перемешивать при комнатной температуре в течение 1 ч. Образовавшийся осадок (бесцветные кристаллы) отфильтровывают, промывают раствором  $\text{EtOH}$  в воде (1:3).

**2-(3,4-Диэтоксибензилиден)-1,3-диметил-4,4-дифенил-1,2,3,4-тетрагидрохиназолин (10a).** К суспензии 2.65 г (31.55 ммоль)  $\text{NaHCO}_3$  в 4 мл  $\text{H}_2\text{O}$  добавляют 1.03 г (2.22 ммоль) 2-(3,4-диэтоксибензил)-4,4-дифенил-3,4-дигидрохиназолина (**6a**), а затем 3.52 г (28.00 ммоль) диметилсульфата. Реакцию проводят при перемешивании на водяной бане при температуре 30–35 °C в течение 4 ч. По окончании реакции разлагают избыток диметилсульфата, поднимая температуру реакционной смеси до 50–55 °C и выдерживая в течение ~30 мин при этой температуре. Затем разлагают метилсульфатную соль нагреванием смеси с избытком 5% раствора  $\text{NaOH}$  на кипящей водяной бане. Реакционную смесь охлаждают, органическую часть экстрагируют  $\text{CHCl}_3$ . После отгонки растворителя остаток перекристаллизовывают из  $\text{EtOH}$ . Выход 0.49 г (45%). Бесцветные кристаллы.

Аналогично получают соединение **13f**.

**Смесь N-метил-N-{2-[(метиламино)(дифенил)метил]фенил}ацетамида (11i) и N-метил-N-{2-[(метиламино)фенил](дифенил)метил}ацетамида (12i).** Получают аналогично. Выход 0.50 г (65%). Бесцветные кристаллы. Т. пл. 139–141 °C (EtOH).  $R_f$  0.45 (ацетон–бензол, 1:9). ИК спектр,  $\nu$ ,  $\text{см}^{-1}$ : 3300 (NH), 1635 (C=O). Спектр ЯМР  $^1\text{H}$  (ДМСО-d<sub>6</sub>),  $\delta$ , м. д.: 0.75 (1.8H, с, CH<sub>3</sub>(2) (**11i**)); 1.60 (1.2H, с, CH<sub>3</sub>(2) (**12i**)); 1.85 (1.2H, с, CH<sub>3</sub>(3) (**12i**))); 1.90 (1.8H, с, CH<sub>3</sub>(3) (**11i**)); 2.55 (1.2H, с, CH<sub>3</sub>(1) (**12i**)); 2.65 (1.8H, с, CH<sub>3</sub>(1) (**11i**)); 2.76 (0.6H, уш. с, NH (**11i**)); 3.20 (0.4H, уш. с, NH (**12i**)); 7.00–7.51 (14H, м, H Ar (**11i+12i**)). Масс-спектр,  $m/z$  ( $I_{\text{отн.}}$ , %): 344 [M]<sup>+</sup> (25). Найдено, %: C 80.05; H 6.65; N 8.19. C<sub>23</sub>H<sub>24</sub>N<sub>2</sub>O. Вычислено, %: C 80.23; H 6.97; N 8.14.

## СПИСОК ЛИТЕРАТУРЫ

1. Е. В. Громачевская, Е. А. Кайгородова, В. Е. Заводник, Г. Д. Крапивин, *XГС*, 886 (2007). [*Chem. Heterocycl. Compd.*, **43**, 748 (2007).]
2. Е. В. Громачевская, Г. Д. Крапивин, Ф. В. Квитковский, А. О. Шеин, В. Г. Кульевич, *XГС*, 640 (2001). [*Chem. Heterocycl. Compd.*, **37**, 588 (2001).]
3. Е. В. Громачевская, Е. А. Кайгородова, С. И. Фиргант, Г. Д. Крапивин, *XГС*, 1222 (2005). [*Chem. Heterocycl. Compd.*, **41**, 1045 (2005).]
4. В. И. Иванский, *Химия гетероциклических соединений*, Высш. школа, Москва, 1978, с. 16–28.
5. В. Г. Кульевич, Е. В. Громачевская, Т. П. Косулина, *XГС*, 953 (1984). [*Chem. Heterocycl. Compd.*, **20**, 776 (1984).]
6. Е. В. Громачевская, Т. П. Косулина, А. Л. Чехун, В. Г. Кульевич, *XГС*, 542 (1993). [*Chem. Heterocycl. Compd.*, **29**, 465 (1993).]
7. Е. В. Громачевская, Т. П. Косулина, В. Г. Кульевич, Ю. Ю. Самитов, А. И. Хаяров, В. Т. Дубоносов, *XГС*, 101 (1990). [*Chem. Heterocycl. Compd.*, **26**, 86 (1990).]
8. А. А. Полякова, Р. А. Хмельницкий, *Масс-спектрометрия в органической химии*, Химия, Москва, 1972, с. 327.
9. Е. В. Громачевская, Т. П. Косулина, В. Г. Кульевич, *XГС*, 537 (1993). [*Chem. Heterocycl. Compd.*, **29**, 460 (1993).]
10. Е. В. Громачевская, В. Г. Кульевич, Т. П. Косулина, В. С. Пустоваров, *XГС*, 842 (1988). [*Chem. Heterocycl. Compd.*, **24**, 692 (1988).]
11. К. Вейганд, *Методы эксперимента в органической химии*, Химия, Москва, 1968, с. 944.
12. А. Кросс, *Введение в практическую инфракрасную спектроскопию*, Изд-во иностр. лит., Москва, 1961, с. 97.
13. Ж. Матье, Р. Панико, *Курс теоретических основ органической химии*, Мир, Москва, 1975, с. 381.

Кубанский государственный технологический университет,  
ул. Московская, 2, Краснодар 350072, Россия  
e-mail: organics@Kubstu.ru

Поступило 14.12.2011

<sup>a</sup>Кубанский государственный аграрный университет,  
ул. Калинина, 13, Краснодар 350044, Россия  
e-mail: e\_kaigorodova@mail.ru

<sup>6</sup>Кубанский государственный университет,  
ул. Ставропольская, 149, Краснодар 350028, Россия  
e-mail: bukov@chem.kubsu.ru